

پتانسیل فرونشست دشت شازند ناشی از افت آب زیرزمینی با مدل وزن دهی و آنالیز صحت سنجی آن با استفاده از تداخل سنجی راداری

صالح طاهری زنگی^۱، عبدالرضا واعظی هیر^{۲*}

۱. دانشجوی کارشناسی ارشد هیدرولوژی، دانشکده علوم طبیعی، دانشگاه تبریز
۲. دانشیار گروه علوم زمین، دانشکده علوم طبیعی، دانشگاه تبریز

(تاریخ دریافت ۱۵/۰۷/۱۳۹۸؛ تاریخ تصویب ۲۲/۱۱/۱۳۹۸)

چکیده

در پژوهش حاضر عوامل مؤثر بر فرونشست سطح زمین در دشت شازند با به کارگیری روش وزن دهی و تحلیل سلسه مراتبی بررسی شده است. در این مدل هفت پارامتر مؤثر، محیط آبخوان، کاربری زمین، پمپاژ، تغذیه، ضخامت آبخوان، فاصله از گسل و افت سطح آب زیرزمینی طبق نظر کارشناسی ارائه شده، رتبه بندی و کلاسه بندی شد و از تلفیق این پارامترها در محیط ArcGIS نقشه آسیب پذیری دشت با شاخص بین ۸۷ تا ۱۷۰ به دست آمد. سپس، به منظور بهینه سازی و تطابق بیشتر، هفت لایه مؤثر بر فرونشست فازی سازی شده و نقشه نهایی تهیه شد. در مرحله بعد، با اعمال وزن های کارشناسی به روش AHP نیز نقشه نهایی پتانسیل فرونشست تهیه شد. میزان آسیب پذیری فرونشست دشت با تلفیق لایه ها در محیط GIS طی یک سال (۱۳۹۶-۱۳۹۵) به دست آمد و برای صحت سنجی این مدل از نقشه ماهواره ای InSAR استفاده شد. برای بهبود نتایج به دست آمده و بهینه سازی وزن های اعمال شده از روش های وزن دهی و فازی با تحلیل سلسه مراتبی استفاده شد. نتایج به دست آمده از تحقیق حاضر نشان می دهد هر سه روش همبستگی تقریباً یکسانی با داده های ماهواره ای دارند و از بین آنها، روش فازی بیشترین همبستگی را با داده های ماهواره ای و فرونشست واقعی نشان می دهد. بر اساس این مدل، نواحی شمالی و شمال غربی در معرض فرونشست قرار دارند. شایان یادآوری است که پالایشگاه شازند در منطقه ای با پتانسیل فرونشست زیاد قرار دارد و باید برنامه های مدیریتی لازم برای کنترل فرونشست در این نواحی اعمال شود.

کلیدواژگان: پتانسیل فرونشست، دشت شازند، مدل وزن دهی، نقشه ماهواره InSAR

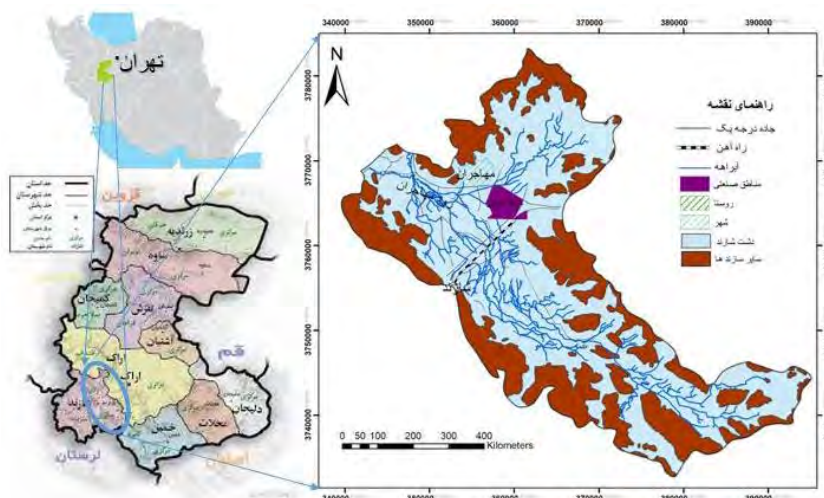
(۲۰۱۸) با استفاده از یک مدل جدید (GARDLIF)، مناطق فرونشت احتمالی در آبخوان دشت سلماس را شناسایی کردند [۱۳]. همچنین، نادری و همکاران (۲۰۱۸) با ارائه چارچوبی برای تخمین پتانسیل فرونشت آبخوان با استفاده از روش الگوریتم ژنتیک در دشت شبستر استفاده کردند [۱۴]. خامه‌چیان و همکاران (۲۰۱۸) با استفاده از مدل وزن‌دهی ALPRIFT که نوعی مدل وزن‌دهی ساده است و شامل هفت لایه مؤثر بر فرونشت (جنس لایه‌های زیرین، کاربری زمین، پمپاژ، تغذیه، ضخامت آبخوان، فاصله از گسل، افت سطح آب زیرزمینی) می‌شود، میزان آسیب‌پذیری فرونشت دشت با تلفیق لایه‌ها در محیط GIS Arc طی یک سال (۱۳۹۵-۱۳۹۴) به دست آوردند و برای صحت‌سنگی این مدل از نقشه ماهواره‌ای InSAR استفاده کردند. سپس، به منظور دستیابی به نتایج دقیق‌تر و بهینه‌سازی وزن‌ها که با نظر کارشناسی اعمال شده بود، روش‌های بهینه‌سازی AHP-LPRIFT و Fuzzy-ALPRIFT را به کار برند و درنهایت، برای صحت‌سنگی روش‌های استفاده شده و به دست آوردن بهترین نتیجه ممکن، از فرونشت‌های رخداده در منطقه استفاده کردند.

منطقه مطالعه شده

محدوده مطالعاتی دشت شازند در حوضه آبریز قره‌چای قرار گرفته است. این محدوده با وسعتی حدود ۹۸۹/۳۸ کیلومترمربع که ۳۵/۶ درجه مطالعاتی آن را داشت و بقیه را کوهستان تشکیل می‌دهد و در حد فاصل طول‌های جغرافیایی ۱۶°/۱۶' تا ۴۹°/۵۲' و ۳۳°/۴۳' تا ۳۴°/۱۱' شمالی قرار گرفته است. محدوده بررسی شده (بلوک شازند) از شمال و شمال غرب به محدوده مطالعاتی شرا، از غرب به محدوده‌های مطالعاتی ملایر و تیره - میرقالسم و از جنوب و جنوب شرق به محدوده‌های مطالعاتی ازنا - الیگودرز و خمین و از شرق به محدوده مطالعاتی اراک محدود می‌شود که در ۳۳ کیلومتری جنوب غربی اراک قرار دارد. ارتفاعات سلسله کوه‌های زاگرس و ایران مرکزی مشخص کننده حدود طبیعی این حوضه آبریز است و ارتفاع داشت بین ۱۷۰۰ تا ۱۹۵۰ متر متغیر بوده و در منطقه نیمه‌خشک سرد واقع شده است.

مقدمه

فرونشت شامل پایین رفتن تدریجی یا ناگهانی سطح زمین، بر اثر برداشت مواد جامد و مایع زیرسطحی است که به دلیل فعالیت‌های طبیعی یا انسانی در ابعاد کوچک یا وسیع رخ می‌دهد [۱]. طبق تعریف یونسکو [۲]، پدیده فرونشت عبارت است از: فروزش یا نشست سطح زمین که در مقیاس بزرگ رخ می‌دهد. عموماً این اصطلاح به حرکات قائم رو به پایین سطح زمین که ممکن است با بردار افقی همراه باشد، گفته می‌شود. علت اصلی فرونشت زمین توسط خروج سیالات، تراکم طبقات فوقانی و کاهش ضخامت لایه‌های سنگ و خاک است. وزن لایه‌های فوقانی سبب تراکم و کاهش ضخامت و درنهایت، فرونشت می‌شود و میزان فرونشت با حجم سیال خارج شده از زمین و قابلیت تراکم به جامانده نسبت مستقیم دارد. بلورهای موجود در سنگ‌ها، کمترین تراکم را تحمل می‌کنند و کانی‌های که ویژگی تراکم زیاد دارند، نظیر کانی‌های رسی یا مواد آلی، فرونشت بسیار زیادی را در زمین ایجاد می‌کنند [۳]. استخراج آبهای زیرزمینی در اقلیم‌های خشک و نیمه‌خشک، یکی از دلایل مهم فرونشت زمین است که می‌تواند خسارت‌های درخور توجهی به تأسیسات زیربنایی، نقاط حساس و خطوط انتقال نیرو وارد کند [۴]. افزایش برداشت آبهای زیرزمینی موجب افزایش سطح آبهای زیرزمینی شده است [۵]. بر اساس نتایج مطالعات، به دلیل بهره‌برداری بیش از حد مقادیر از سال ۱۳۷۰ دشت شازند به عنوان دشت ممنوعه اعلام شده است [۶]. در نقاط مختلف دنیا از روش تداخل‌سنگی راداری برای شناسایی و اندازه‌گیری فرونشت زمین استفاده کرده‌اند [۷-۱۰]. طی چند سال اخیر، در ایران نیز از این روش در پایش تغییر شکل‌های سطح به‌ویژه فرونشت استفاده شده است که از آن جمله می‌توان به برخی پژوهش‌ها اشاره کرد. Moatag و همکاران (۲۰۱۲) با استفاده از تصاویر ماهواره‌ای ENVISAT با روش طول باز کوتاه، فرونشت دشت مهیار جنوبی اصفهان را ۸/۶ سانتی‌متر در سال محاسبه کردند [۱۱]. در تحقیقی دیگر، افضلی و همکاران (۲۰۱۳) با استفاده از تداخل‌سنگی تفاضلی راداری، آسیب‌پذیری زیرساخت‌ها از پدیده فرونشت زمین در دشت دامغان را ارزیابی کردند [۱۲]. نادری و همکاران



شکل ۱. موقعیت جغرافیایی منطقه مطالعه شده

می‌دهند. بعد آبرفت‌های عهد حاضر هم مخروط‌افکنهای رسوبات رودخانه‌ها و مسیل‌ها و آبرفت‌های دشت شازند را تشکیل می‌دهند و در نهایت، سازندهای به آبرفت‌های سخت‌نشده عهد حاضر و زمین‌های زراعی دشت شازند ختم می‌شوند. با توجه به نقشه زمین‌شناسی قسمت عمده آبخوان دشت در واحد QC تشکیل شده است (شکل ۲).

آبخوان دشت شازند از نوع آبخوان آزاد بوده و در دشت شازند رقوم منحنی‌های هم‌عمق آب زیرزمینی بین ۲/۶۵ تا ۴۹/۵ متر متغیر است. حداقل منحنی هم‌عمق سطح آب زیرزمینی در انتهای جنوب غربی دشت با مقدار ۵ متر (سرسختی سلفی) به وجود آمده است. در عین حال، از سمت غرب، جنوب غرب و شمال غرب به سمت شرق به عمق سطح آب افزوده می‌شود. متوسط عمق سطح آب زیرزمینی دشت در سال ۱۳۸۳ و ۱۳۹۶ به ترتیب ۱۹/۹۴ و ۲۴/۶۰ متر برآورد شده است (شکل ۳).

بالاترین و پایین‌ترین تراز سطح ایستایی به ترتیب در جنوب شرقی آبخوان (ورودی دشت)، ۱۸۳۸ متر و شمال غربی (خروجی دشت)، ۲۰۰۱ متر قرار گرفته و جهت عمومی جریان آب زیرزمینی منطقه از سمت جنوب شرق به سمت شمال و شمال غرب است (شکل ۴).

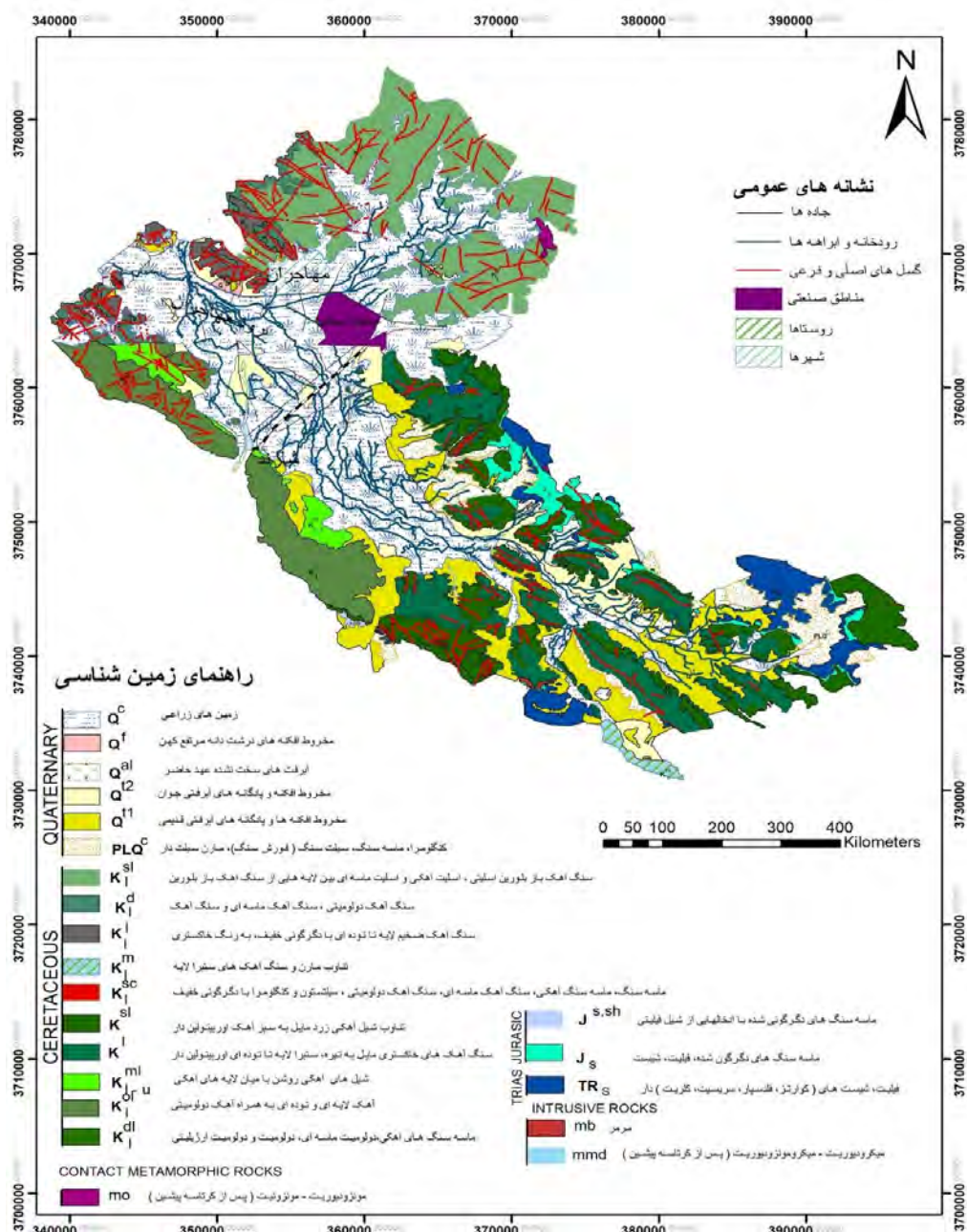
همچنین، طی مرداد ۱۳۸۳ تا مرداد ۱۳۹۶، سطح آب افتی حدود ۰/۳۴ تا ۹/۲۱ در سرتاسر دشت به خصوص در مرکزی دشت (شمال آبخوان) واقع در پیزومترهای آبخوان در پیزومترهای شرق نیروگاه (۹/۲۱)، باغ برافتاد (۹/۷۲) و روبروی پتروشیمی (۷/۴۲) دارد؛ که این امر نشان‌دهنده

بر اساس تقسیم‌بندی پهنه‌های ساختاری، منطقه بررسی شده در پهنه سندج- سیرجان قرار دارد که کهن‌ترین نهشته‌های موجود در منطقه مطالعه شده مربوط به دوران مژوزوئیک با واحد اسلیت‌های مربوط به زمان تریاس است که در جنوب شرقی منطقه مطالعه شده قرار دارد و شامل فیلیت و شیست‌ها می‌شود. بعد از آن، ردیف دگرگونی ژوراسیک است که شامل رسوبات سنگی منطقه اسلیت‌های زغالی همراه با رگه‌های ماسه‌سنگ کوارتزیتی می‌شود. در آخر، ردیف سری آهک‌های کرتاسه است که سنگ آهک ضخیم لایه و متببور و آهک‌های اسلیتی و اسلیت‌های آهکی کرتاسه میانی و فوقانی که کل دشت شازند را احاطه کرده‌اند که سازندهای کرتاسه میانی به سنگ آهک‌های اربیتولین دار معروف‌اند. ضخامت این سازند کارستیک در روستایی عمارت به بیش از ۳۵۰ متر می‌رسد و کرتاسه‌های فوقانی از لایه‌هایی با ضخامت کم از آهک متببور که بین رگه‌ها و لایه‌هایی از اسلیت و یا ماسه‌سنگ همراهی می‌شوند (نقشه ۱/۱۰۰۰۰ چهارگوش شازند، سازمان زمین‌شناسی و اکتشاف معدنی کشور).

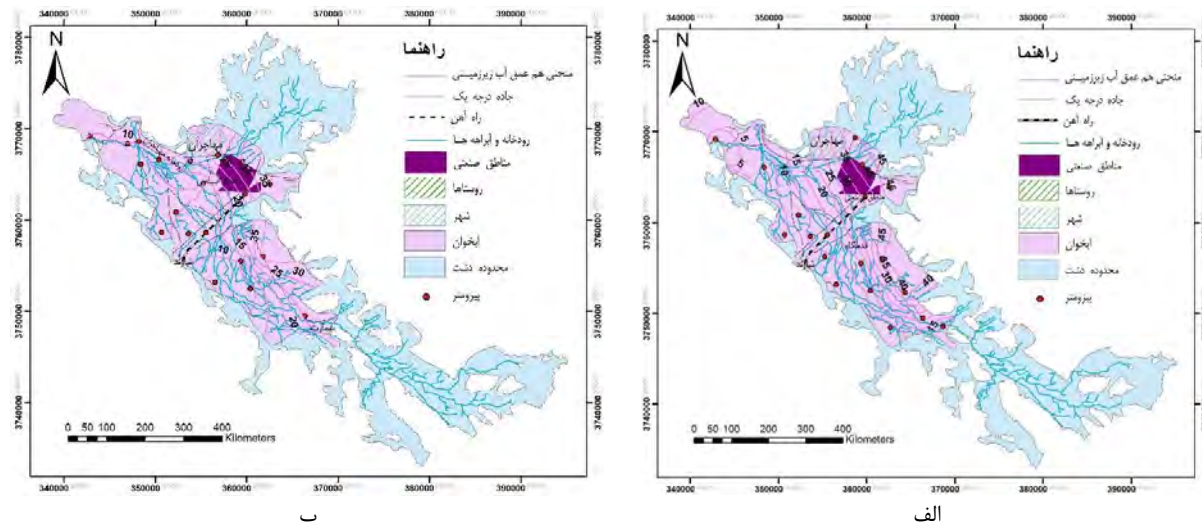
واحددهای زمین‌شناسی دوران سنوزوئیک رسوبات آبرفتی کوارتنر شامل کنگلومرا ماسه‌سنگ، سیلت سنگ و سپس، آبرفت‌های قدیمی و عهد حاضر (Q^{t1} و Q^{t2}) که با رسهای قرمزنگ همراه با گراول و گاه خرده‌سنگ‌های گردشده رخنمون دارند که در دشت شازند به حداقل ۵۰ و حداکثر ۱۰۰ متر می‌رسند و به صورت همگن عده سنگ کف آبرفت‌های عهد حاضر دشت شازند را تشکیل

میلیون مترمکعب است که ۱۷ درصد حجم تخلیه توسط چشمه و قنات و ۸۳ درصد توسط چاهها صورت می‌گیرد و از این حجم تخلیه برای شرب (۴ درصد)، کشاورزی (۹۳/۴) درصد و صنعت (۲/۶) استفاده می‌شود. در آزمایش‌های پمپاژ حداکثر ضریب قابلیت انتقال ۲۵۰۰ مترمربع بر روز در مناطق مرکزی دشت محاسبه شده است که به سمت حاشیه دشت، مقدار این ضرایب هیدرودینامیکی به کمتر از ۵۰۰ مترمربع در روز می‌رسد.

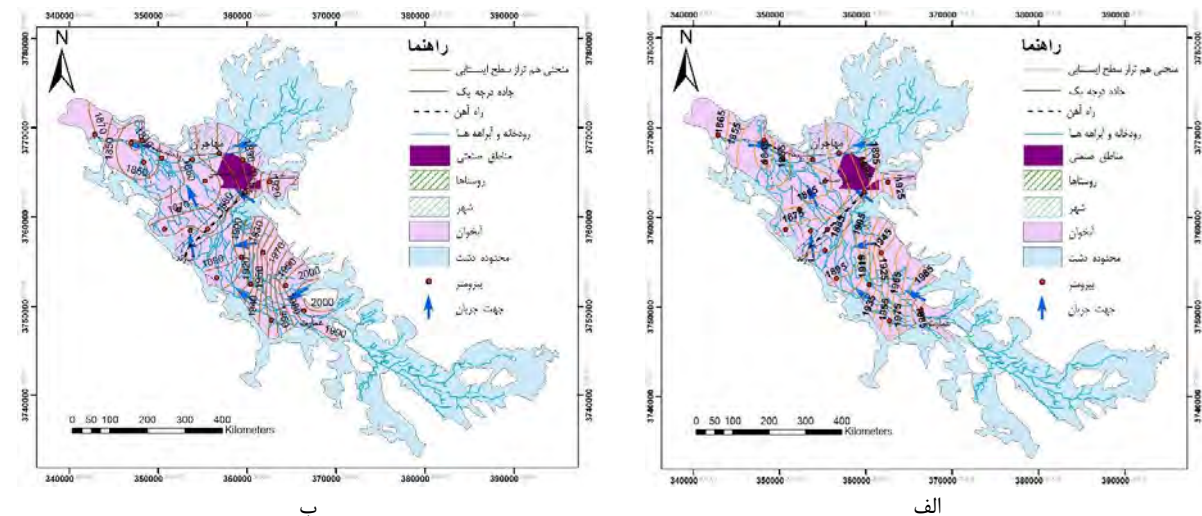
وضعیت بحرانی در این منطقه و تشدید روند افت سطح آب زیرزمینی در منطقه مطالعه شده است. افت سطح ایستابی در مناطق صنعتی حساس می‌تواند خطر فرونشست و وقوع حادثه را ممکن سازد (شکل ۵). بر اساس داده‌های گرفته شده از سازمان آب منطقه‌ای استان مرکزی، در دشت شازند تخلیه آبهای زیرزمینی توسط چاههای عمیق و نیمه‌عمیق (۹۸۱ عدد)، قنات‌ها (۷۸ عدد) و چشمه‌ها (۶۰ عدد) که تعداد جمع منابع آبی ۱۱۱۹ است. حجم کل تخلیه (MCM) ۲۶۷/۵۶۱ (MCM) است.



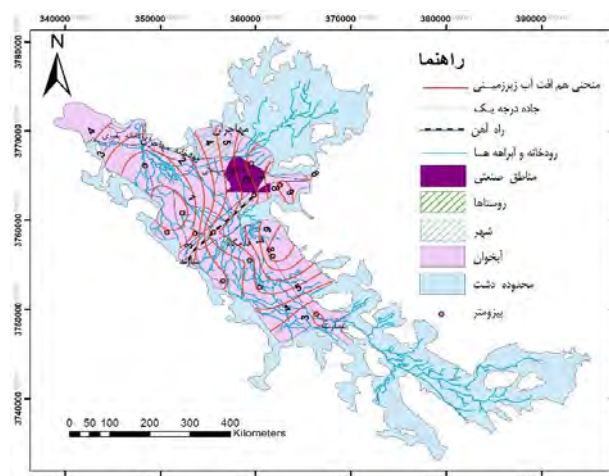
شکل ۲. نقشه زمین‌شناسی منطقه مطالعه شده (برگرفته از نقشه سازمان زمین‌شناسی کشور و ذیبی، ۱۳۸۳ و ساعی‌پور، ۱۳۶۴)



شکل ۳. نقشه هم عمق آب زیرزمینی در مردادماه: (الف) سال ۱۳۸۳ و (ب) سال ۱۳۹۶



شکل ۴. نقشه هم تراز سطح ایستایل و جهت جریان در مردادماه: (الف) سال ۱۳۸۲ و (ب) سال ۱۳۹۶

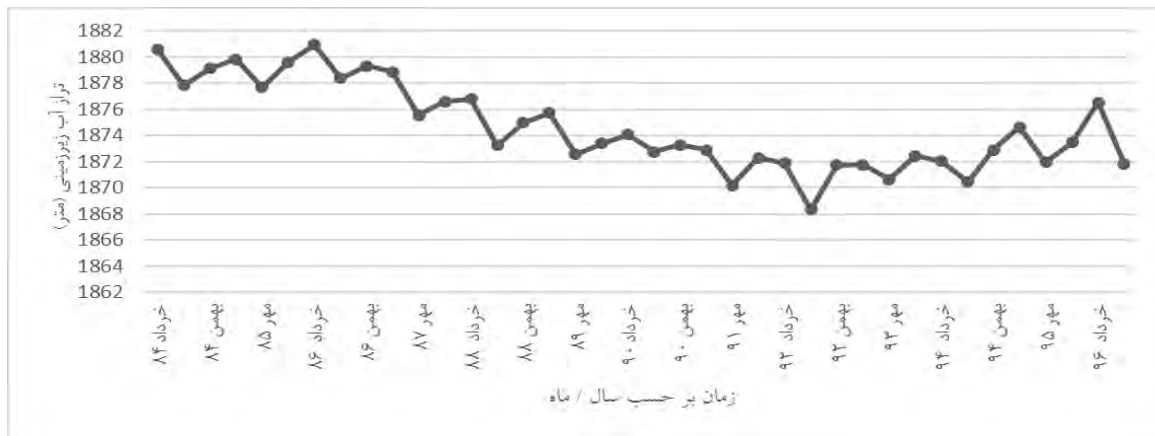


شکل ۵. نقشه هم افت آب زیرزمینی در مردادماه ۱۳۸۳ تا مردادماه ۱۳۹۶

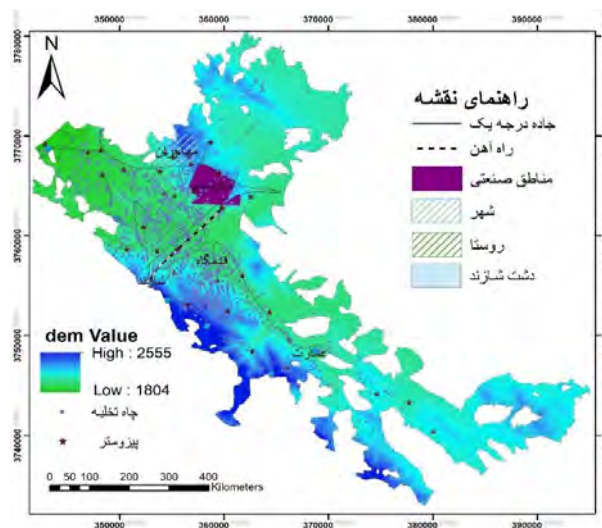
آب زیرزمینی به میزان 870×10^3 متر و میزان کسری مخزن طی این مدت 1327×10^6 میلیون مترمکعب طی دوره ۱۲ ساله است (شکل ۶).

شکل ۶ نقشه ارتفاعی دشت بررسی شده از سطح آب های آزاد بحسب متر، موقعیت قرارگیری چاه های پیزومتری و چاه های بهره برداری موجود در دشت را نشان می دهد.

بررسی تغییرات تراز آب زیرزمینی طی دوره آماری ۱۳۸۴ تا ۱۳۹۶ بیانگر آن است که تغییرات تراز آب زیرزمینی در ابتدای دوره آماری یادشده روند نزولی داشته و تا مدتی این نوسان نزولی ادامه داشته و سپس حالت صعودی شده است. بر اساس آبنمود ارائه شده، صرف نظر از فراز و فرودهای فصلی روند اصلی آبنمود این دشت نزولی است که در کل آبنمود، نشان دهنده پایین افتادگی سطح



شکل ۶. میانگین وزنی تغییرات سطح آب در آبخوان دشت شازند طی سال های آبی ۱۳۹۶ تا ۱۳۸۴



شکل ۷. موقعیت قرارگیری چاه های پیزومتری و چاه های بهره برداری موجود در دشت

به دست آمده از مدل برای صحت آنالیز با نقشه ماهواره های به دست آمده سنتیل ۱ (InSAR) استفاده شده است. پس از آن، به منظور دستیابی به نتایج دقیق تر از روش بهینه سازی Fuzzy- ALPRIFT و AHP-LPRIFT استفاده شد. فازی سازی فرایندی است که مقادیر اندازه گیری شده را به متغیرهای زبانی به کار گرفته در قسمت شرط قوانین

روش تحقیق

در پژوهش حاضر از مدل وزن دهی با مدل ALPRIFT استفاده شده است. لایه های مؤثر بر فرونشست بر اساس رتبه های این مدل، تهیه و وزن دهی شده و سپس با تلفیق و برهم نهی لایه ها در محیط Arc GIS نقشه آسیب پذیری فرونشست دشت شازند به دست آمد. سپس، نقشه نهایی

فرونشست، ۲ رتبه‌های تعلق‌گرفته به هر دسته و W وزن هر عامل را نشان می‌دهد.

تهیه لایه‌های اطلاعاتی مدل ALPRIFT

محیط آبخوان (A): محیط آبخوان به مواد زمین‌شناسی تحکیم‌یافته یا تحکیم‌نیافته‌ای گفته می‌شود که بدنۀ یک آبخوان را تشکیل می‌دهند. هرچقدر مواد دانه‌ریزتر باشند مانند سیلت و رس به دلیل تراوایی بسیار کم، تغذیه مناسب به آبخوان را نمی‌دهند و به همین دلیل، بعد از برداشت آب زیرزمینی در این مواد تحکیم برگشت‌ناپذیری رخ داده و سبب فرونشست بیشتر زمین می‌شود، ولی هرچقدر مواد دانه‌درشت‌تر باشد، نفوذپذیری خاک افزایش می‌یابد و موجب تغذیه بیشتر شده و درنتیجه، فرونشست کمتر می‌شود.

برای تهیه این لایه، از لاغ‌های زمین‌شناسی سازمان آب منطقه‌ای ارک استفاده شد. بر اساس لاغ‌ها نوع رسوبات آبخوان شناسایی شده و طبق جدول ۱ کلاسه‌بندی شد و نوع خاک هر لاغ به دست آمد. سپس، در مرحله بعد اطلاعات لاغ‌ها در فرمت قابل قبول به محیط نرم‌افزار Arc GIS فراخوان شده و با دستور IDW درون‌یابی و لایه‌رستری محیط آبخوان تهیه شد. نقشه رستری جنس محیط آبخوان در شکل ۸ آمده است.

کاربری اراضی (L): کاربری‌های مختلف زمین می‌توانند تأثیرات مختلفی بر وقوع فرونشست داشته باشند. برای مثال، در مناطق استخراج سیالات مانند نفت و آب سبب ایجاد فضای خالی در اعمق شده و وزن طبقات فوقانی که قبل از استخراج توسط سیال موجود در طبقات تحمل می‌شد، کاهش یافته و امکان فرونشست افزایش می‌یابد. لایه کاربری زمین بر اساس نقشه کاربری کشور تهیه و طبق جدول ۱ کلاسه‌بندی شد. نقشه رستری تهیه شده از کاربری زمین در شکل ۸ آمده است.

پمپاز (P): اگر برداشت آب از چاه‌های بهره‌برداری بیش از میزان تغذیه به آبخوان باشد، سطح آب زیرزمینی کاهش می‌یابد و درنتیجه، شرایط مستعد برای فرونشست فراهم می‌شود. برای تهیه لایه پمپاز، میزان برداشت سالانه آب از چاه‌های پمپاز از سازمان آب منطقه ارک تهیه شد. سپس، وارد محیط GIS Arc شده و با استفاده از روش پلیگون‌بندی تیسن مقدار تخلیه هر چاه پمپاز به مساحت

فازی تبدیل می‌کند و این کار با استفاده از تعیین تابع عضویت برای ورودی‌ها انجام می‌شود. قوانین فازی ارتباط بین ورودی و خروجی را ایجاد می‌کند. برای تعیین تابع عضویت هر ورودی، مقادیر واقعی پارامترها در جایگاهی که از قبل تعریف شده در نرم‌افزار وارد شده و برای آنها تابع عضویتی بین صفر و یک در نظر گرفته می‌شود. یعنی مشخصه زبانی هر پارامتر را از صفر یا یک مطلق خارج می‌کند. در روش AHP فرایند تحلیل سلسه‌مراتبی شامل سه عنصر هدف، تعدادی معیار و گزینه‌های است. هدف در این تحلیل، اولویت‌بندی موضوعی و یا انتخاب بهینه‌سازیوهای مدیریتی است. برای رسیدن به این اهداف به تعدادی گزینه و بر حسب معیارهای مؤثر امتیاز داده می‌شود و بر اساس وزن نهایی گزینه برتر انتخاب و اولویت‌بندی می‌شود.

مدل ALPRIFT

مدل ALPRIFT به وسیله ندیری و همکاران [۱۶] ارائه شده است. برای این کار از منابع اطلاعات گوناگونی از جمله لاغ‌های زمین‌شناسی، داده‌های پیزومتری، استفاده از نتایج چاه‌های پمپاز، نقشه کاربری اراضی و از گسل‌های فعال منطقه استفاده شده است. در این مدل هفت لایه مؤثر بر فرونشست زمین وجود دارد که عبارت‌اند از: محیط آبخوان (A)، کاربری اراضی (L)، پمپاز (P)، تغذیه (R)، ضخامت آبخوان (I)، فاصله از گسل (F) و میزان افت سطح آب زیرزمینی (T). به هر پارامتر وزن‌هایی با توجه به اهمیت آن در فرونشست از ۱ تا ۵ داده می‌شود که به بیشترین وزن، تأثیر ۵ و به کمترین وزن، ۱ داده می‌شود. همچنین، هر پارامتر با توجه به اهمیتی که در وقوع فرونشست دارد، به زیردسته‌هایی تقسیم می‌شود که به هر دسته بر اساس میزان تأثیر آن، رتبه‌ای از ۱ تا ۱۰ تعلق می‌گیرد. هرچقدر این رتبه کمتر باشد، کمترین تأثیر بر میزان وقوع فرونشست را داشته است و درنهایت، از مجموع حاصل ضرب وزن هر لایه در رتبه هر لایه با توجه به رابطه ۱، میزان فرونشست در آن نقطه به دست می‌آید.

$$\text{Subsidence vulnerability index(SVI)} = \frac{A_r A_w + L_r L_w + P_r P_w + R_r R_w + I_r I_w + F_r F_w + T_r T_w}{A_r A_w + L_r L_w + P_r P_w + R_r R_w + I_r I_w + F_r F_w + T_r T_w} \quad (1)$$

در رابطه یادشده (SVI) شاخص آسیب‌پذیری فرونشست، A, L, P, R, I, F, T هفت عامل مؤثر بر

آبخوان بیشتر باشد، وزن رسوبات فوقانی زیاد شده و بر اثر برداشت آب سبب افزایش بیشتر فرونشست می‌شود. برای تهیه این لایه با در دست داشتن عمق سنگ کف به وجود آمده از لاغهای زمین‌شناسی، ضخامت آبخوان در کل منطقه به روش IDW درون‌یابی و لایه کلاس‌بندی شده و ضخامت آبخوان در فرمت رستر تهیه شد (شکل ۸). فاصله از گسل (F): حرکات تکتونیکی با جابه‌جایی ذرات ریزدانه و درشت‌دانه سبب تراکم بیشتر و درنتیجه، فرونشست می‌شود. هرچقدر فاصله از گسل‌های فعال کمتر باشد، پتانسیل فرونشست بیشتر می‌شود. برای به دست آوردن لایه فاصله از گسل‌های فعال در هر نقطه از منطقه مطالعه شده، از دستور فاصله اقلیدسی^۱ استفاده شده و نقشه نهایی تهیه و کلاس‌بندی شد (شکل ۸).

میزان افت سطح آب زیرزمینی (T): این پارامتر یکی از عوامل مهم و تأثیرگذار در فرونشست است. افزایش افت سطح ایستایی سبب افزایش تنش مؤثر در لایه‌های فوقانی شده و درنتیجه، سبب افزایش فرونشست می‌شود. برای تهیه میزان افت از اطلاعات سطح ایستایی یک‌ساله (مهر ۱۳۹۵ تا مهر ۱۳۹۶) چاههای پیزومتری منطقه استفاده شده و با استفاده از دستور IDW درون‌یابی شد. سپس، بر اساس جدول ۱، کلاس‌بندی و نقشه نهایی میزان افت یک‌ساله سطح آب منطقه تهیه شد.

پلیگون تقسیم شده و مقدار به دست آمده به روش IDW درون‌یابی شد. در نهایت، بر اساس جدول ۱ مقدار درون‌یابی شده کلاس‌بندی شد و میزان پمپاژ بر حسب میلی‌متر بر سال برای محدوده مطالعاتی تهیه شد.

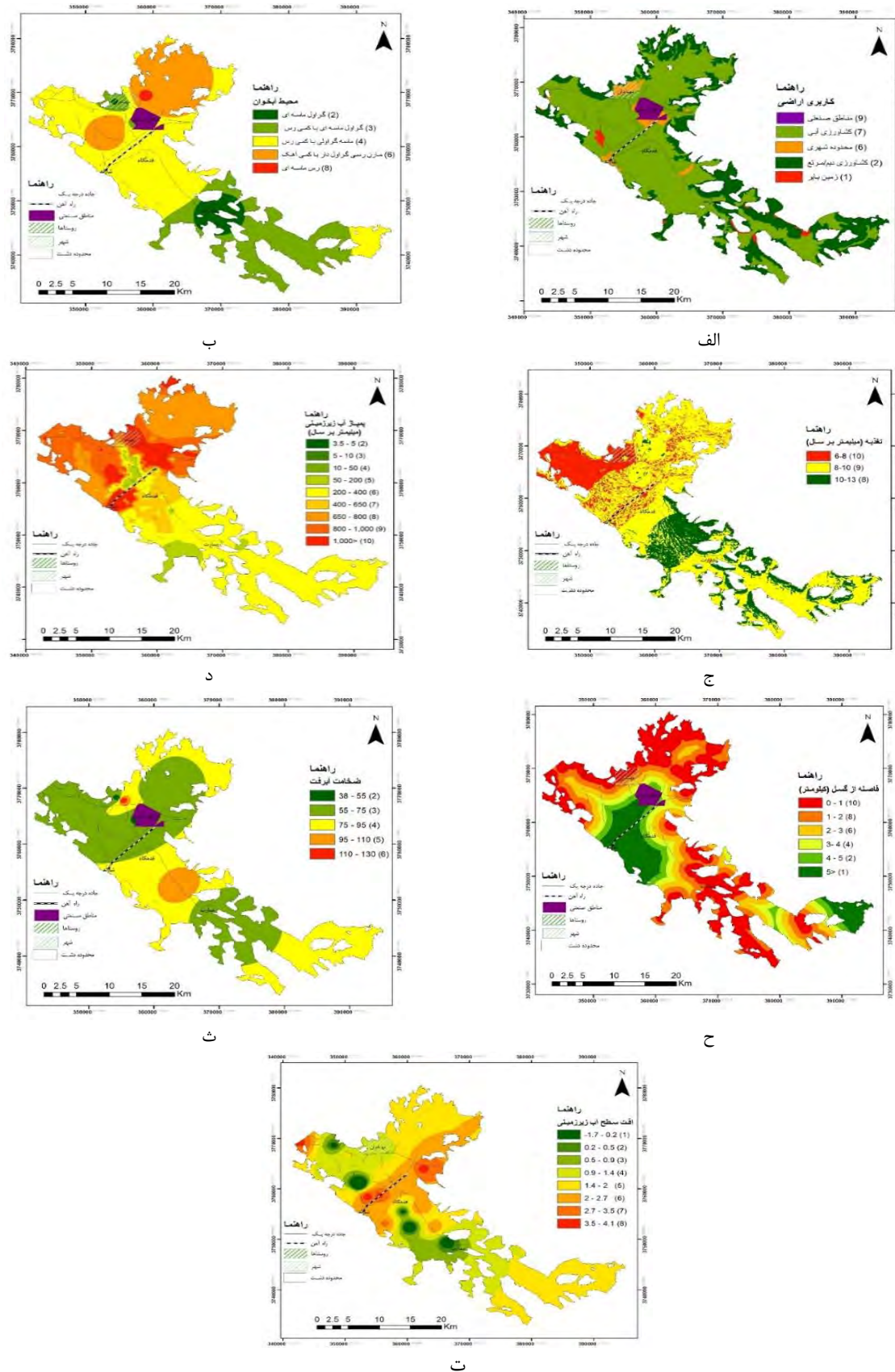
تغذیه (R): مقدار آبی است که از سطح زمین به سطح ایستایی می‌رسد. هرچه میزان تغذیه بیشتر باشد، فشار هیدرولیکی بیشتر می‌شود و فاصله بین دانه‌ها افزایش می‌یابد. درنتیجه، تنش مؤثر کاهش می‌یابد و عکس پمپاژ عمل می‌کند و سبب کاهش فرونشست می‌شود. برای تهیه لایه تغذیه از روش پیسکوپو [۱۷] استفاده شد. در این روش سه لایه شیب زمین، بارندگی و نفوذپذیری سطحی خاک (عمق ۰/۵ تا ۲ متری خاک سطحی) تهیه شد. برای تهیه لایه شیب از DEM ۳۰ متری منطقه استفاده شده و برای تهیه لایه بارندگی، آمار ۲۰ ساله سازمان هواشناسی کشور به کار گرفته شد. به منظور تهیه لایه نفوذپذیری، از عمق ۰/۵ تا ۲ متری لاغهای زمین‌شناسی منطقه استفاده شد. درنهایت، در محیط نرم‌افزار Arc GIS هر سه لایه در فرمت رستر همپوشانی شده و لایه نهایی تغذیه خالص آب زیرزمینی تهیه شد (شکل ۸).

ضخامت آبخوان (I): به فاصله بین سطح زمین تا سنگ کف ضخامت آبخوان گفته می‌شود. هرچقدر ضخامت

جدول ۱. شرح اطلاعاتی لایه‌های ALPRIFT و وزن‌های اختصاصی یافته

SVI	(T) افت سطح ایستایی Decline of water table			Fault (F) فاصله از گسل distance			(I) ضخامت آبخوان Impacts of aquifer thickness			(R) تغذیه Recharge	(P) بیانز Pumping of groundwater	(L) کاربری اراضی Land use	(A) محیط آبخوان Aquifer media			
	Weight 5			Weight 1			Weight 2							Weight 3	Weight 5	
Level	Band	Rate	(m/year)	نرخ	Rate	(km)	فاصله	Rate	نرخ	Rate	(mm/year)	نرخ	Rate	محده	Rate	جنس مواد
کم	۷۸-۲۴	۱	-۰/۲-۰/۷	۱۰	۱-	۲	۵۵-۳۸	۱۰	۸-	۲	۵-۳۵	۹	مناطق صنعتی	۲	گروول ملسه‌ای	
	-۷۸	۲	-۰/۵-۰/۲	۸	۲-	۳	۷۵-۵۵	۹	۱۰-۸	۳	۱۰-۵	۷	کشاورزی آبی	۳	گروول ملسه‌ای با کمی رس	
متوسط	۱۳۲	۳	-۰/۹-۰/۵	۶	۳-۲	۴	۹۵-۷۵	۸	۱۳-۱۰	۴	۵۰-۱۰	۶	شهری	۴	ملسه گروولی با کمی رس	
	-۱۲۲	۳	-۰/۹-۰/۵	۶	۳-۲	۴	۹۵-۷۵	۸	۱۳-۱۰	۴	۵۰-۱۰	۶	کشاورزی دمی	۶	ملزن رسی گروول‌دار با کمی افقی رس	
زیاد	-۱۸۶	۴	-۱/۴-۰/۹	۴	۴-۳	۵	۱۱۰-۹۵			۵	۲۰۰-۵۰	۲				
	-۲۴۰	۴	-۱/۴-۰/۹	۴	۴-۳	۵	۱۱۰-۹۵			۶	۴۰۰-۳۰۰	۱	زمین باز	۸	زمین باز	
	۵	۲-۱۴	۲	۵-۴	۶	۱۳۶-۱۱۰			۷	۶۰۵-۴۰۰						
	۶	۲۷-۲	۱	>۵						۸	۸۰۰-۶۵۰					
	۷	۳۵-۲۷								۹	۱۰۰۰-۸۰۰					
	۸	۴۱-۳۷۵								۱۰	>۱۰۰۰					

1. Euclidean Distance



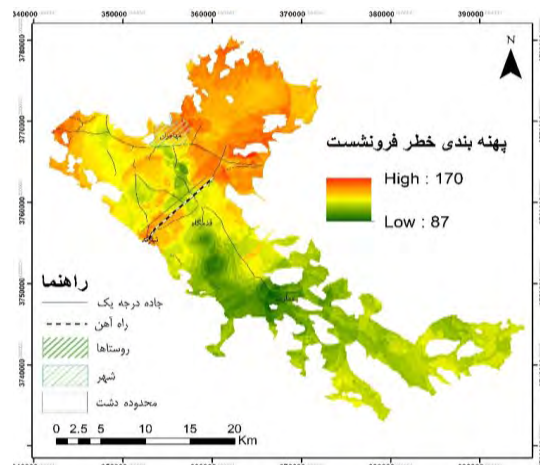
شکل ۸. نقشه لایه‌های تهیه شده ALPRIFT در فرمت رستر: (آ) محیط آبخوان، (ب) کاربری زمین، (ج) پمپاژ، (د) تغذیه، (ح) ضخامت آبرفت، (ث) فاصله از گسل، (ت) افت سطح آب زیرزمینی

فازی شده تهیه شد. مزیت فازی سازی داده ها به دلیل تدریجی بودن مرز تغییر ویژگی لایه های در منطقه است که با طبیعت همخوانی بیشتری دارد. بر اساس تهیه لایه های آسیب پذیری به روش فازی، بیشترین مقدار شاخص آسیب پذیری ۲۴ و کمترین میزان آن صفر به دست می آید؛ که طبق پتانسیل آسیب پذیری فازی شده بین صفر تا ۶ نشان دهنده رده آسیب پذیری کم، تا ۱۲ متوسط، تا ۱۸ زیاد و تا ۲۴ آسیب پذیری خیلی زیاد را نشان می دهد. آسیب پذیری فازی مدل ALPRIFT برای منطقه مطالعه شده $\frac{3}{3}$ / $\frac{4}{4}$ تا $\frac{18}{4}$ / $\frac{4}{4}$ به دست آمده است. همچنین، مدل آسیب پذیری AHP برای منطقه مطالعه شده بین $\frac{3}{48}$ / $\frac{7}{16}$ تا $\frac{7}{16}$ / $\frac{1}{16}$ به دست آمده است (شکل ۱۰).

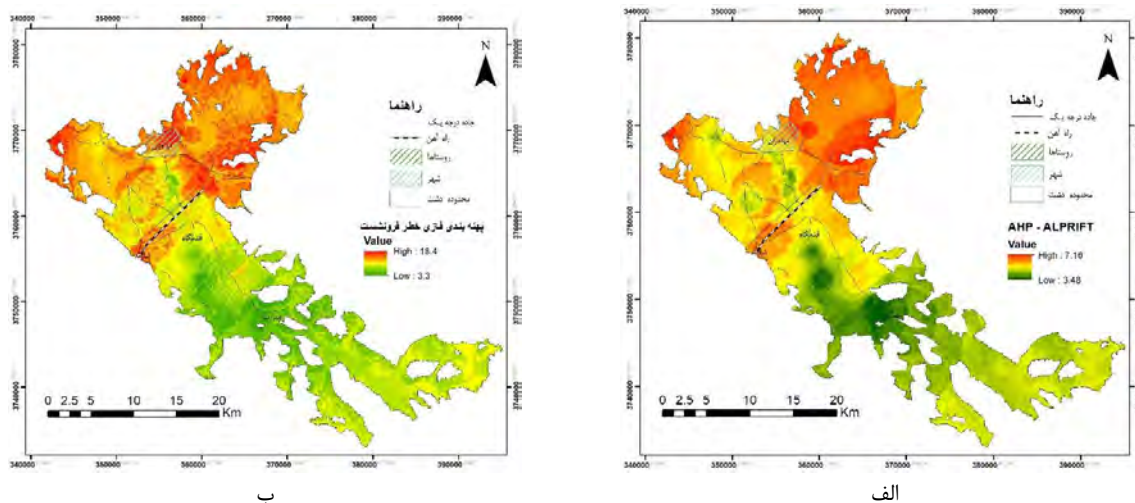
بحث و نتایج

پس از تهیه ۷ لایه اطلاعاتی مؤثر در تعیین پتانسیل فرونشست تمام لایه ها طبق رابطه ۱، SVI روی هم قرار گرفته و با در نظر گرفتن رتبه و وزن هر لایه همپوشانی شده و نقشه نهایی پتانسیل فرونشست به روش ALPRIFT تهیه شد. بر اساس این نقشه، شاخص فرونشست برای دشت شازند بین ۸۷ تا ۱۷۰ به دست آمد (شکل ۹).

در مرحله بعد با استفاده از دستور Fuzzy Membership و با استفاده ازتابع عضویت Gaussian تعریف شد. سپس، هفت لایه رستری مؤثر در فرونشست به روش ALPRIFT فازی سازی شده و به بازه صفر تا یک تبدیل شد. سپس، نقشه نهایی پتانسیل فرونشست بر اساس نقشه رستری

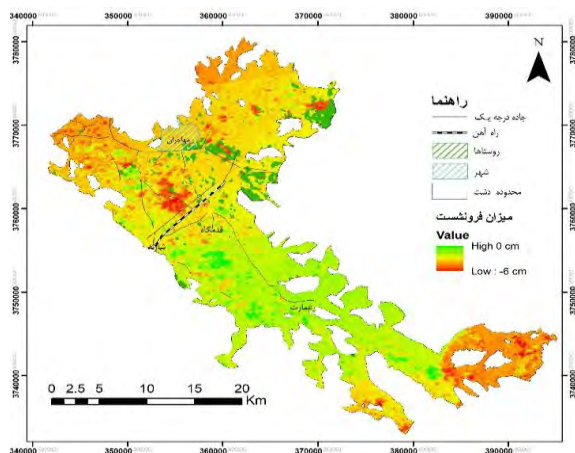


شکل ۹. نقشه پهنه‌بندی خطر فرونشست دشت حاصل از تلفیق لایه‌های مدل ALPRIFT



شکل ۱۰. پهنه‌بندی به روش (الف) فازی، (ب) AHP در مدل ALPRIFT

و AHP-ALPRIFT از نمودار R^2 بین نقشهٔ پتانسیل فرونشست این مدل‌ها با فرونشست نشان داده شده از ماهوارهٔ InSar استفاده شد. بر اساس نتایج به دست آمده از این مقایسه، مدل Fuzzy-ALPRIFT با ضریب همبستگی $r = 0.57$ بیشترین تطابق با میزان فرونشست واقعی داشته، چون روش فازی دقت و توانایی زیادی دارد و شرایط مرزی را بهتر پوشش می‌دهد. همچنین، مدل AHP-ALPRIFT با $r = 0.54$ کمترین تطابق و مدل ALPRIFT با $r = 0.55$ تطابق حد وسط بین دو مدل را نشان داد (جدول ۲).



شکل ۱۱. نقشهٔ پهن‌بندی خطر فرونشست که بر اساس نقشهٔ ماهوارهٔ تهیه شده

جدول ۲. نمودار همبستگی بین مدل‌ها و میزان فرونشست

روش	ضریب همبستگی پیرسون (r)
ALPRIFT	+0.55
Fuzzy-ALPRIFT	+0.57
AHP-ALPRIFT	+0.54

نتیجه‌گیری

نتایج تحقیق حاضر نشان می‌دهد با توجه به اینکه طی مرداد ۱۳۸۳ تا مرداد ۱۳۹۶ سطح آب افت بیشتری در سرتاسر دشت بهخصوص در پیزومترهای شرق نیروگاه (۹/۲۱ متر)، باغ برافت (۹/۷۲ متر) و رو به روی پتروشیمی (۷/۴۲ متر) دارد، منطقهٔ یادشده دچار وضعیت بحرانی و تشیدید روند افت سطح آب زیرزمینی شده و افت سطح ایستابی در مناطق صنعتی حساس، سبب فرونشست شده است. همچنین، با به کارگیری مدل ALPRIFT که شامل هفت لایهٔ مؤثر می‌شود، با توجه به این لایه‌ها افت سطح آب زیرزمینی بیشترین تأثیر در مقدار

در بررسی میزان فرونشست از مدل‌ها و روش‌های متفاوت می‌توان استفاده کرد. در پژوهش حاضر از روش D-InSar از سنجندهٔ Sentinel 1 با دقت میلی‌متری استفاده شده است که در بازه‌های زمانی متفاوت و با تصاویر گرفته شده در تاریخ‌های متعدد محاسبه می‌شود.

رادار نوعی روش برای به دست آوردن اطلاعات در مورد اشیا و پدیده‌های مختلف بر مبنای اندازهٔ گیری فاصله است که با استفاده از محاسبهٔ زمان گسیل سیگنال در باند یا باندهای مربوط به سنجندهٔ صورت می‌گیرد. دقت اندازهٔ گیری خام رadar برای رسیدن به دقت میلی‌متری کافی نیست، اما روش‌هایی برای راه اندازی سیگنال با دقت و رزوشن زیاد به وجود آمده است تا دقت رadar افزایش پیدا کند. یکی از این روش‌های اثبات شده اینترفرومتری^۱ است که با استفاده از اطلاعات راداری، برای رادارهای هوایی و ماهواره‌ای بسیار استفاده می‌شود. یک کاربرد ویژه آن این است که از اینترفرومتری متفاوتی استفاده می‌کند تا جایه‌جایی‌های کوچک رadar یک مسافت محاسبه کند که این با مفهوم مطرح شده در مدل‌سازی دینامیسم فعل در محدودهٔ فاریاب با استفاده از تکنیک D-InSAR استفاده شده است. یکی از مزایای مهم D-InSAR قابلیت آن در تهیهٔ نقشهٔ جامعی از تغییر شکل با توجیه زمینی و با تعداد نقاط نمونه‌برداری مترکم‌تر از نقشه‌برداری دقیق است. اگرچه در روش یادشده می‌توان میزان جایه‌جایی حاصل را به منظور خط دید ماهواره به تمام جهات شمالی-جنوبی، خاوری-باختری و ارتفاعی تصویر کرد، اما از آنجا که حساسیت سنجنده‌های تصویربردار به جایه‌جایی در راستای قائم به مراتب بیشتر است، تصاویر به دست آمده برای بررسی فرونشست مناسب‌اند. محدودهٔ مطالعه شده در پژوهش حاضر منطقهٔ شازند است. پس از پردازش‌های انجام گرفته معلوم شد در بازه‌های زمانی انتخاب شده (سال ۱۳۹۵ تا ۱۳۹۶) میزان پایین‌رفتگی یا فرونشست منطقهٔ مد نظر به کمترین مقدار خود یعنی به منفی ۶ سانتی‌متری رسیده است (این ۶ سانتی‌متر یعنی زمین در این محدوده به اندازهٔ ۶ سانتی‌متر پایین رفته یا فرونشست کرده است) (شکل ۱۱). همان‌طور که گفته شد، دلایل مختلفی مانند استخراج و برداشت آبخوان‌ها سبب ایجاد این پدیده هستند.

برای مقایسه سه مدل Fuzzy-ALPRIFT، ALPRIFT

1. Interferometry

- Groundwater Department. Code 4120. 2010. [Persian].
- [7]. Chang C.P, Chang T.Y, Wang C.T, Kuo C.H, Chen K.S. Land surface deformation corresponding to seasonal ground- water fluctuation, determining by SAR interferometry in the SW Taiwan, Mathematics and Computers in Simulation. 2004; 67(4-5):351-359.
- [8]. Crosetto M, Tscherning C.C, Crippa B, Castillo M. Subsidence monitoring using SAR interferometry: Reduction of the atmospheric effects using stochastic filtering, Geophysical Research Letters. 2002; 29 (9).
- [9]. Laura C, Pietro T, Luigi T. Eustacy and land subsidence in the Venice Lagoon at the beginning of the new millennium. 2004; 51(1-4): 345-353.
- [10]. Ge D, Wang Y, Zhang L, Xia Y, Gue X. Using permanent scattered In SAR to monitors land subsidence along high speed rally way-the first experiment in China, ESAS. 2010; P-677.
- [11]. Moatag M, Davoodi J, Momeni M. Hashemi M. Discovery and representation of subsidence of Mahyar plain of Isfahan by interferometry, Extended Scientific-Engineering Survey and Spatial Information. 2012; 3(2). [Persian].
- [12]. Afzali A, Sharifi-Kia M, And Shayan S. Assessment of Infrastructure and Settlement Vulnerability from Land Subsidence in Damghan Plain, Iranian Journal of Applied Geomorphology. 2013; 1(1) [Persian].
- [13]. Naderi K, Nadiri A.A, Asghari Moghadam A, Kord M. A New Method for Identifying and Determining Areas of Subsidence (Case Study: Salmas Plain Aquifer). Journal of Ecohydrology.2018; 5 (1):85-97 [Persian].
- [14]. Nadiri A.A , Taheri Z , Bazegariand Gh, Didehban Kh. A Framework to Estimation of Aquifer Subsidence Potential Using Genetic Algorithm.2018;14 (2):174-185[Persian].
- [15]. Khamechian M, Nadiri A. Manafi Azar A. Comparison of subsidence vulnerability of southwestern Tehran plain with ALPRIFT weighting model and genetic algorithm. 2018; 4(2):199 [Persian].
- [16]. Nadiri A, Taheri Z, Khatibi R, Barzegari G, Didehban Kh. Introducing a new framework for mapping subsidence vulnerability indices (SVIs): ALPRIFT" Science of the Total Environment. 2018; 628-629:1043-1057.
- [17]. Piscopo G. Groundwater vulnerability map. Explanatory notes Castlereagh Catchment, NSW. Centre for Natural Resources. NSW Department of Land and Water Conservation, Parramatta. 2001.

فرونشست را داشته است که بر اساس این شاخص بین ۸۷ تا ۱۷۰ به دست آمد. به منظور بهینه‌سازی وزن‌های اعمال شده از مدل AHP و فازی مدل ALPRIFT تهیه شد و با توجه ضریب همبستگی بین سه روش با داده‌های ماهواره‌ای فرونشست می‌توان گفت که تقریباً هر سه روش همبستگی بین ۵۴/۰ تا ۵۷/۰ را با داده‌های ماهواره‌ای و فرونشست واقعی نشان می‌دهند که بیشترین همبستگی به روش فازی است چون این روش مرزی را بهتر پوشش داده است. همبستگی‌های کم نقشه‌های پتانسیل فرونشست و داده‌های ماهواره‌ای به دلیل تأخیر در زمان فرونشست است. مدل یادشده و نقشه ماهواره‌ای تهیه شده نشان می‌دهد نواحی شمالی و شمال غربی در معرض فرونشست قرار دارند. شایان یادآوری است که پالایشگاه شازند در منطقه با پتانسیل فرونشست زیاد قرار دارد و باید برنامه‌های مدیریتی لازم برای کنترل فرونشست اعمال شود. پیشنهاد می‌شود با توجه اینکه بیشتر نقاط نشست در رسوبات آبرفتی کواترنر قرار دارد، تخصیص و بهره‌برداری از منابع دشت کاهش یابد و نسبت به افزایش میزان آبیاری و اصلاح الگوی کشت اقدام شود. به دلیل استقرار صنایع بزرگ و حساس نظیر پالایشگاه، پتروشیمی و نیروگاه شازند، این محدودیتها و اقدامات در منطقه شرقی دشت باید بیشتر باشد.

منابع

- [1]. Galloway D, Jones D, Ingebritsen SE Land subsidence in the United State. US Geological Survey, Circular 1182.1999.
- [2]. Poland J.F. Guidebook to Studies of Land Subsidence Due to Groundwater Withdrawal, United Nations Educational, Scientific and Cultural Organization, UNESCO. 1984.
- [3]. Ghazban F. Environmental Geology (7th Ed.). University of Tehran Publications. 2013; 416p. [Persian].
- [4]. Mortazavi M, Suleimani K, Mofeghi F. Water Resources Management and Sustainable Development, Case Study of Rafsanjan Plain, Journal of Water and Wastewater. 2010; 3: 131-126. [Persian].
- [5]. Einloo F, Ma'afi R, Malekian A, Ghazavi A, Mohseni Saravi A. Survey of Groundwater Quality in the Zanjan Plain from the Drinking Standards Viewpoint of Geo statistical Approach. 2016; 27: 2 (62)[Persian].
- [6]. Ministry of Power. Extension of Prohibition of Shazand Studies Area. Markazi Province Regional Water Company, Resource Baseline Study,